

Минерагения, прогнозы, перспективы

NEWS

OF THE NATIONAL ACADEMY OF SCIENCES OF THE REPUBLIC OF KAZAKHSTAN

SERIES OF GEOLOGY AND TECHNICAL SCIENCES

ISSN 2224-5278

Volume 1, Number 421 (2017), 18 – 36

**V. G. Stepanets¹, V. L. Levin², N. A. Savelyev³,
M. Khakimzhanov⁴, D. K. Makat³**

¹RCMIR_COM, Germany,

²K. I. Satpaev IGS,

³KSTU, Kazakhstan,

⁴SRK Consulting (Kazakhstan) Ltd.

E-mail: wladimir@stepanez.de, levin_v@inbox.ru, n.a.savelyeva@gmail.com,
mkhakimzhanov@srk.kz, dastankgtu90@mail.ru

EVOLUTION OF PICRITE MAGMATISM AND ORE FORMATION IN THE ULYTAU REGION OF CENTRAL KAZAKHSTAN

Abstract. The paper is dedicated to the petrology and metallogeny of mafic and ultramafic rocks of the Ulytau Range. Two hypabyssal rock complexes are established within the West Ulytau Belt, including the Karaturgai diabase-picrite complex in the north and the Beleuty ferrogabbro-norite and diabase-picrite complex. They are derivatives of melting of spinel peridotites, which makes them different from the suprasubduction zone ophiolitic complexes of Central Kazakhstan, which produced by melting of garnet peridotites. Igneous rocks of the Karaturgai complex are comparable with ultramafic and mafic rocks rich in augite and brown hornblende, which are produced by the normal course of volcanic differentiation, while igneous rocks of the Beleuty complex are more alkaline and they contain titanian augite and barkevikite. The former usually occur, when teschenites and essexites, as well as other alkaline gabbroids, appear in the diabase series. Copper–nickel sulfide ores with platinum group elements are linked genetically and geographically with picrite basalts and diabase-picrites of the Karaturgai complex and also with sulfide-bearing carbonatites enriched with heavy rare earth elements. It is likely that the origin of ferruginous quartzites of the Karasakpai ore field had relation to the hydrothermal processes occurred at the time when high-Fe subalkaline gabbro-diabases, probably of the Beleuty complex were intruded. The age of the intrusive rocks of the West Ulytau Belt is provisionally as Neoproterozoic, probably synchronous to the collisional processes resulted in the formation of the Rodinia supercontinent. A complex of Neoproterozoic peridotite-pyroxenite-gabbro-plagiogranite intrusive rocks is proven in East Ulytau. It was originated as a result of melting of different mantle sourness, unlike hypabyssal rock complexes of the West Ulytau Belt. Distinctive feature of the Ulytau complex is the presence of koswites which usually contain platinum group elements.

Key words: Ulytau, Kazakhstan, carbonatites, picrite basalts, diabases, ferruginous quartzites, copper–nickel sulfide ores, palladium, platinum, Neoproterozoic.

В. Г. Степанец¹, В. Л. Левин², Н. А. Савельева³, М. Хакимжанов⁴, Д. К. Макат³

¹RCMIR_CoM, Germany,

²ИГН им. К. И. Сатпаева,

³КарГТУ, Казахстан,

⁴SRK Consulting (Kazakhstan) Ltd.

ЭВОЛЮЦИЯ ПИКРИТОВОГО МАГМАТИЗМА И РУДООБРАЗОВАНИЕ В УЛЫТАУСКОМ РАЙОНЕ ЦЕНТРАЛЬНОГО КАЗАХСТАНА

Аннотация. Рассмотрены вопросы петрологии и металлогении основных и ультраосновных пород хребта Улытау. В составе Западно-Улытауского пояса выделены два гипабиссальных комплекса: на севере – каратургайский диабаз-пикритовый комплекс, а на юге – белеутинский феррогаббронорит-диабаз-пикритовый комплекс, которые являются производными плавления шпинелевых перидотитов, что отличает их от нижнепалеозойских надсубдукционных оphiолитовых комплексов Центрального Казахстана, являющихся продуктами плавления гранатовых перидотитов. Породы каратургайского комплекса сопоставляются с ультраосновными и основными дифференциатами нормального типа с авгитом и бурой роговой обманкой, а породы белеутинского комплекса находят аналогию с более щелочным типом, содержащим титано-авгит и баркесикит. Последние обычно встречаются в тех случаях, когда в серии диабазов появляются тешениты, а также эсекситы и другие щелочные габброиды. С пикритами и диабаз-пикритами каратургайского комплекса пространственно и генетически связаны медно-никелевые руды с платиноидами и сульфидоносные карбонатиты с тяжелыми редкоземельными элементами. Предполагается, что образование железистых кварцитов Караскайского рудного района связано с гидротермальными процессами, протекающими в период внедрения high-Fe субщелочных габбро-диабазов, вероятнее всего, белеутинского комплекса. Возраст пород Западно-Улытауского пояса условно принимается неопротерозойский до рифтогенного и геодинамически увязывается с коллизионными процессами, протекающими в период образования суперконтинента Родиния. В составе Восточного Улытау выделен самостоятельный интрузивный неопротерозойский улытауский перидотит-пиroxенит-габбро-плагиогранитный комплекс, который образовался в результате плавления различных мантийных источников, чем он отличаются от гипабиссальных комплексов Западно-Улытауского пояса. Характерной особенностью состава улытауского комплекса является присутствие косьвигитов, которые, как правило, содержат элементы платиновой группы.

Ключевые слова: Улытау, Казахстан, карбонатиты, пикриты, диабазы, железистые кварциты, медно-никелевые руды, палладий, платина, неопротерозой.

Введение. На западе Центрального Казахстана в горах Улытау в составе докембрийских метаморфических толщ давно известны основные и ультраосновные породы, пространственная и генетическая связь с ними хризотил-асбестовой, сульфидной медно-никелевой минерализации и железистых кварцитов надолго предопределила интерес к их изучению [1-12].

Впервые пикриты и апопикритовые серпентиниты в пределах Северного Улытау (рисунок 1) были описаны в 1962 г. Ю. Л. Семеновым [5] на правобережье р. Карагургай и выделены из состава Западно-Улытауского «офиолитового пояса» в самостоятельный каратургайский диабаз-пикритовый комплекс. Ими было дано детальное петрографическое описание пород комплекса, проведено петрохимическое сопоставление с пикритами и диабазами других районов Советского Союза, Чехословакии и Восточной Германии. Показано, что пикриты и диабазы каратургайского комплекса слагают силлы и дайки, залегающие среди метаморфических толщ хр. Улытау и не имеют видимой связи с эфузивными образованиями. Основываясь на аналогии с другими районами развития диабаз-пикритовых комплексов, ими было высказано предположение, что пикриты и диабазы хр. Улытау находятся в генетической связи с проявлениями раннемезозойского базальтового магматизма Тургайского прогиба. Ими впервые отмечена пространственная и генетическая связь сульфидов меди и никеля с пикритами.

В 1967 г. И. И. Вишневская и И. Ф. Трусова в статье «Западно-Улутавский пояс ультраосновных и основных пород» выступили с критикой представлений Н. П. Михайлова и Ю. Л. Семенова и

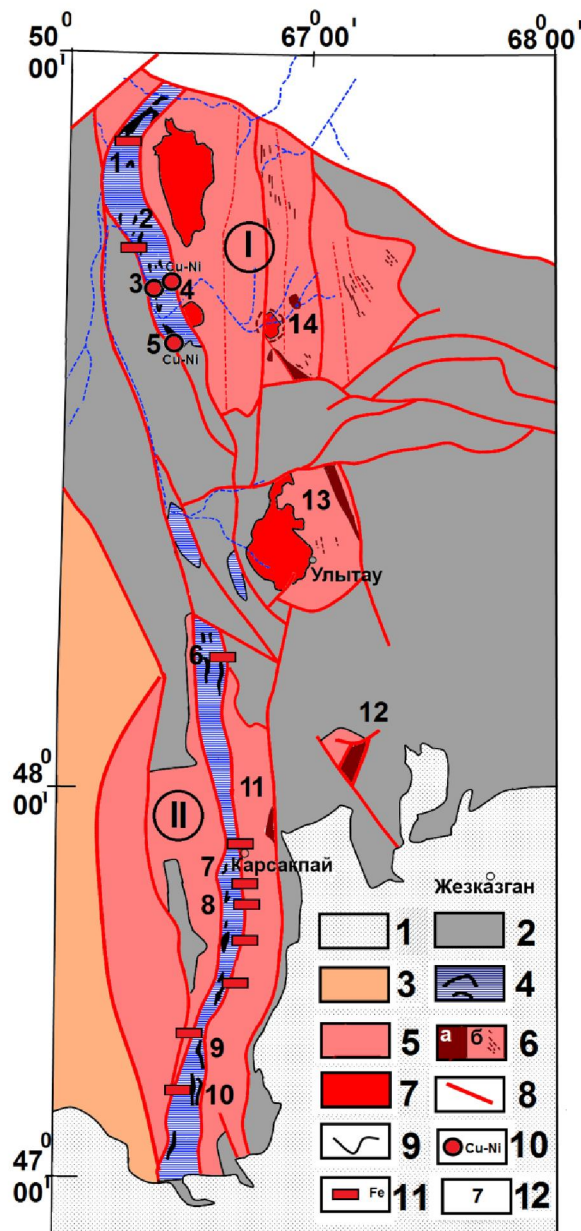


Рисунок 1 – Схема расположения выходов основных, ультраосновных пород и генетически связанных с ним месторождений полезных ископаемых Северного (I) и Южного (II) Улытая, построена по материалам [2, 4-7, 10, 17].

1 – мезозойско-кайнозойские осадочные отложения; 2 – девон-каменноугольные вулканогенно-осадочные отложения; 3 – кембро-ордовикские осадочные отложения; 4 – Западно-Улытаянский пояс (силлы, реже дайки); 5 – Улутауский докембрийский кристаллический массив; 6 – неопротерозойские интрузии перидотит-пироксенит-габбро-плагиогранитного комплекса (а), а также даек горнблендитов, спессартитов и пикритов (б); 7 – палеозойские гранитоиды; 8 – региональные разломы; 9 – геологические границы; 10 – медно-никелевые проявления с платиной; 11 – месторождения фосфорно-меди-свинцово-цинково-железорудной формации; 12 – цифрами обозначены: 1-10 – неопротерозойские силлы белеутинского и каратургайского комплексов и генетически связанные с ними проявления полезных ископаемых: 1 – Жаксы-Коянды, 2 – Жанакала, 3 – Каратургай, 4 – Придорожное, 5 – Акжал, 6 – Арыстантай, 7 – Карсакпай (Балбраун, Керегетас), 8 – Дюсембай (Дүйсембай), 9 – Джийде; 10 – Белеуты; 11-14 – неопротерозойские интрузии перидотит-пироксенит-габбро-плагиогранитного комплекса: 11 – Талдысай, 12 – Шайтантас (восточной Джезды), 13 – Ешкельмес (кладбище), 14 – Шилик-Каным.

Figure 1 – Schematic map showing the outcrop areas of the mafic and ultramafic rocks and genetically related ore deposits in the Northern (I) and the South (II) Ulytau [after 2, 4-7, 10, 17].

1 – Mesozoic-Cenozoic sedimentary cover. 2 – Devonian and Carboniferous volcano-sedimentary rocks (undifferentiated); 3 – Cambrian-Ordovician sedimentary rocks (undifferentiated); 4 – West Ulytau Belt (sills, occasional dikes); 5 – Ulutau Precambrian crystalline massif; 6 – Neoproterozoic peridotite-pyroxenite-gabbro-plagiogranite intrusive complex (a); dikes of hornblende-ditites, spessartites and picrodites (b); 7 – Paleozoic granitoids; 8 – regional faults; 9 – geological boundaries; 10 – copper-nickel mineralisation with PGM; 11 – phosphorus-copper-lead-zinc-iron ore deposits; 12 – numbers denote: 1-10 – Neoproterozoic sills of the Beleutu and Karaturgai complexes and genetically related ore mineralisation: 1 – Zhaksy-Koyandi, 2 – Zhanakala, 3 – Karaturgai, 4 – Pridorozhnoe, 5 – Akzhal, 6 – Arystantau, 7 – Karsakpai (Balbraun, Keregetas), 8 – Duysembay (Dүйсембай), 9 – Dzhiyde; 10 – Beleuty; 11-14 – Neoproterozoic peridotite-pyroxenite-gabbro-plagiogranite complex of intrusive rocks: 11 – Taldysay, 12 – Shaytanta (Eastern Dzhezdy), 13 – Eshkikelmes, 14 – Shilik-Kanym.

отнесли силлы пикритов каратургайского комплекса к интрузиям габбро-перидотитовой формации. Отметив при этом их парагенетическую связь с породами спилито-кератофировой формации, встречающимися в составе ряда офиолитовых поясов Центрального Казахстана [4]. Ссылаясь на данные Ю. А. Зайцева [3], они предположили, что породы каратургайского комплекса простираются на юго-восток до широты пос. Карсакпай. Возраст ультраосновных и основных пород

данного района, как отметили авторы [6], большинство исследователей считают ордовикским. Однако следует напомнить, что ранее И. Ф. Трусова [13] основные и ультраосновные интрузии Западно-Улытауского «змеевикового пояса» относила к докембрию.

Ю. И. Половинкина [2], изучавшая основные и ультраосновные породы района поселка Карсакпай в связи с проблемой генезиса железистых кварцитов, пришла к заключению, что их возраст, вероятнее всего, среднепротерозойский. Описанные ею диабазовые порфиры по структурному положению, петрографическому и петрохимическому составу идентичны кварц- и апатит-содержащим диабазам и кварцевым диабазам каратургайского диабаз-пикритового комплекса. Перидотиты, диабазовые порфиры, метабазальты и метаосадочные породы карсакпайской серии она объединила в «типичную» офиолитовую формацию. При этом Ю. И. Половинкина считала, что более молодые, по отношению к породам карсакпайской серии, основные и ультраосновные интрузивные породы являются причиной интенсивных постмагматических процессов в районе, в том числе и образования железистых кварцитов.

Составители геологической карты СССР (масштаб 1 : 200 000, серия Улутау-Кокчетавская) [7] отнесли силлы и дайки данного комплекса в районе Карсакпая к позднему протерозою. Отмечая при этом, что габбро и габбро-диабазы развиты в виде согласных тел в составе неопротерозойских белкудукской и боздакской свит, а также в виде рвущих массивов внутри мезопротерозойской бурмашинской свиты. Между тем они отмечают, что у них нет прямых геологических данных для установления верхнего возрастного предела. Однако они предположили, что можно говорить о генетической связи пластовых интрузивных тел с соответствующими по возрасту свитами, содержащими основные вулканиты в составе метаморфических толщ района Карсакпая.

Составители геологической карты Казахской ССР (масштаб 1 : 500 000, серия Центрально-Казахстанская) [10] объединили вышеописанные основные и ультраосновные породы Западно-Улытауского «офиолитового пояса» в белеутинский комплекс позднепротерозойских габбро, габбро-диабазов, который, как они отметили, впервые был описан в Карсакпайском районе И. С. Яговкиным в 1927 г.

Значительно позже Р. М. Антонюк [11], один из соавторов геологической карты Казахской ССР [10], обобщив материалы ГДП-200, разработал новую стратиграфическую схему метаморфических отложений докембria и нижнего палеозоя хребта Улытау. Западно-Улытауский «офиолитовый пояс» он представил как Карсакпайский аллохтон. В составе последнего метавулканиты и ассоциирующие с ними метаосадочные отложения карсакпайской серии, были им отнесены к верхним членам офиолитовой ассоциации, а сопровождающие их тела основных и ультраосновных пород он сопоставил с плутоническими комплексами нижнепалеозойских офиолитовых зон Центрального Казахстана, и тем самым, по сути, повторил схемы предшественников [2, 6]. Предположив при этом, что карсакпайская серия сформировалась в условиях спрединга Байконурского окраинно-морского палеобассейна на коре океанического типа, которая впоследствии, в позднем ордовике и раннем силуре в период коллизии и закрытия этого бассейна, была шарирована на Улытау-Арганатинский микроконтинент. Возраст карсакпайской серии ими [11] был определен в диапазоне позднего венда и среднего ордовика.

Р. К. Григайтис и ее соавторы [14], детально изучившие метаосадочные породы карсакпайской серии пришли к выводу, что данные породы часто содержат реликтовую бластопсаммитовую или бластоалевритовую структуры. Обломки плохо окатаны, представлены полевым шпатом, измененными цветными минералами, кварцем и отвечают составу граувакковых, аркозовых песчаников и алевролитов, туффитов и аргиллитов, что в корне противоречит выводу Р. М. Антонюка и его соавторов [11] о преобладании в составе карсакпайской серии пелагических осадков. Тесная ассоциация метавулканитов карсакпайской серии с кристаллокластическими и литокластическими туфами, описанными Ю. И. Половинкиной [2], содержащими амфибол, хлорит, плагиоклаз, биотит, серицит, гематит, магнетит, турмалин, кальцит и кварц, также не характерна для глубоководных фаций. Такие туфогенные породы, как правило, связаны с деятельностью стратовулканов, а присутствие аркозовых песчаников указывает на их образование в условиях мелководных и прибрежных фаций [15]. Акантоморфные акритархи [16, 14], присутствующие в отложениях карсакпайской серии, представляют собой остатки эукариотных одноклеточных фитопланктона и ниточных водорослевых организмов, также обитали в относительно неглубокой открытой морской шельфовой части палеобассейна.

Порфиритоиды карсакпайской серии, по данным авторов [2, 7], образовались за счет метаморфизма афировых и миндалекаменных порфиритов базальтового и андезибазальтового состава. Сporadически в верхней части разреза порфиритоидов карсакпайской серии встречаются прослои фиолетовых порфириоидов с флюидальной текстурой, что вряд ли можно считать признаком глубоководных фаций. Осадочно-туфогенно-вулканогенные интенсивно метаморфизованные отложения карсакпайской серии, вероятно, следует отнести к базальт-андезитовой формации [17], которая, как известно, распространена в пределах окраинно-континентальных рифтов, иногда накладывающихся на отмершие островные дуги, причленившихся к континенту.

В этой связи кратко остановимся на пространственной и генетической связи железистых кварцитов фосфорно-медно-свинцово-цинково-железорудной формации [17] карсакпайской и боздакской серий с основным и ультраосновным магматизмом Западно-Улытауского «офиолитового пояса».

Если согласиться с выводами Н. П. Михайлова и Ю. Л. Семенова [5], что основные и ультраосновные породы Западно-Улытауского «офиолитового пояса» это – диабазы, пикриты и апопикретовые серпентиниты, то становится очевидным, что, вероятнее всего, диабаз-пикритовая магма, богатая железом, была источником гидротермальных растворов. Это дает основание предполагать, что железистые кварциты есть продукт эндогенных процессов, на что еще ранее обратили внимание К. И. Сатпаев [18, 19] и И. И. Танатар [20], изучавший железистые кварциты Кривого Рога, а не осадочнометаморфического происхождения, как отмечается в работе Р. М. Антонюка [11].

Присутствие в составе ультраосновных пород (пикритов) каратургайского комплекса сульфидной медно-никелевой минерализации с платиноидами [8, 21] также ставит под сомнение представления Р. М. Антонюка и его соавторов [11] об их формировании в структурах с океаническим типом фундамента.

О. Б. Бейсеев [8, 21], долгие годы изучавший рудопроявление Карагургай, пришел к выводу, что его руды, приуроченные к горизонтам верлитов, имеют близкое сходство с сульфидными медно-никелевыми месторождениями Печенги [22].

Все исследователи, изучавшие гипабиссальные породы белеутинского и каратургайского комплекса, несмотря на их различные представления о генезисе как в пределах Южного [2, 7, 10], так и Северного Улытау [5, 6, 8] имеют единую точку зрения на их структурное положение и форму тел.

Апопикретовые серпентиниты, пикриты, пикрито-диабазы, диабазы и кварцевые диабазы белеутинского и каратургайского комплекса слагают небольшие гипабиссальные тела, имеющие, как правило, форму крупных и мелких межпластовых залежей. Довольно часто силлы залегают в замках неопротерозойских метаморфических толщ карсакпайской и боздакской серий, в единичных случаях встречаются дайки в составе мезопротерозойских толщ. Аналогов пикритов и ассоциирующих с ними диабазов в составе палеозойских толщ хр. Улытау не обнаружено.

Наличие кварца и значительные содержания апатита являются характерной чертой состава диабазов белеутинского комплекса, что отличает их от диабазовых порфиритов зеленокаменной карсакпайской серии [2]. Одной из характерных особенностей состава диабазов района Карсакпая является присутствие щелочного амфибала.

Учитывая крайне противоположные точки зрения на генезис и возраст ультраосновных и основных пород хр. Улытау, авторы предлагают с позиций современной геохимической геодинамики более подробно рассмотреть петрогохимические особенности пород белеутинского и каратургайского комплексов и определить их место в геологической истории развития запада Центрального Казахстана.

Особенности состава пород. При обсуждении петрографических и петрогохимических особенностей ультраосновных и основных пород Западно-Улытауского пояса были использованы данные [5, 6, 24, 25; 14, 11].

Ниже рассмотрим состав наиболее хорошо изученных пород диабаз-пикритового комплекса верховьев р. Сабасалдытургай, бассейна р. Карагургай, ее притока Койтас и горы Акжал [5, 6].

Между апопикретовыми серпентинитами, пикритами, пикрито-диабазами, диабазами и кварцевыми диабазами отмечаются постепенные переходы. Пикриты, пикрито-диабазы и диабазы обладают хорошо выраженной шаровой и глыбовой отдельностью.

Пикриты являются яркими их представителями, содержащими: оливин (65–75%), моноклинный и ромбический пироксены в равных количествах (5–7%), бурую роговую обманку (2–4%), соссюритизированный плагиоклаз (10–15%), биотит (0,5 %), сульфиты (0,5–2%), магнетит, апатит.

Пикрито-диабазы по внешнему виду не отличаются от пикритов, однако количественные соотношения минералов значительно меняются. Содержание оливина уменьшается (25–40%), соответственно пропорционально увеличивается содержание пироксенов и плагиоклаза, причем клинопироксен преобладает над ортопироксеном. Значительно уменьшается количество сульфидов и апатита.

Диабазы и кварцевые диабазы повсеместно встречаются вместе с пикритами, нередко совместно в одном силле. От пикритов они отличаются только отсутствием ортопироксена. В их составе определен клинопироксен (45–60%), плагиоклаз (33–40%), биотит (около 1%), кварц (1.5–2%), апатит и ильменит. Сульфиды отсутствуют.

Значительная часть пород комплекса сложена апопикритовыми серпентинитами. Серпентин (50–80%) нередко представлен хризотилом и антигоритом, редко встречаются реликты ортопироксена, значительно лучше сохранились реликты клинопироксена (15–20%), также встречаются псевдоморфозы соссюрита (2–3%), реже псевдоморфозы по пластинчатым кристаллам биотита. Довольно часто по серпентину развивается карбонат и тальк.

Апопикритовые серпентиниты верховьев р. Сабасалдытургай по отношению таковым бассейна р. Карагургай несколько обеднены SiO_2 (37.7%), Al_2O_3 (3.67%), но в тоже время несколько обогащены $\text{FeO}_{\text{общ}}$ (13.38%) и по соотношению основных петрогенных компонентов приближаются к составу меймечита, однако они обеднены нормативным диопсидом (0.69%) при крайне высоких содержаниях нормативного гиперстена (26.66%). Тогда как апопикритовые серпентиниты бассейна

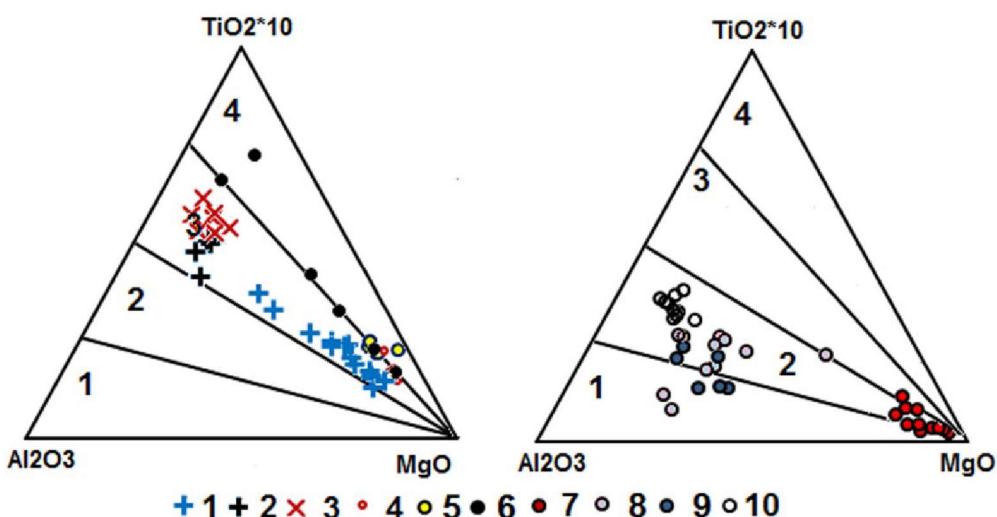


Рисунок 2 – Диаграмма $\text{TiO}_2 \cdot 10 - \text{Al}_2\text{O}_3 - \text{MgO}$ (мас. %) для основных и ультраосновных пород белеутинского и карагургайского, караулшекинского надсубдукционного комплексов Казахстана и Печенгского рудного района.

Поля вулканических серий: 1 – бонинитовой, 2 – коматитовой, 3 – пикритовой, 4 – щелочно-ультраосновной [27].

1-2 – карагургайский диабаз-пикритовый комплекс [5, 6; не опубликованные данные Рылова (1967)]: 1 – пикриты, 2 – кварцевые диабазы; 3 – породы белеутинского феррогаббронорит-диабаз-пикритового комплекса района Карасакпай [2]; 4-6 – породы Печенгского района [28, таблица 7]: 4-5 – безрудные: 4 – серпентинизированные оливиниты и 5 – серпентинизированные верлиты, 6 – породы габбро-верлитового никеленосного комплекса; 7-10 – породы Каравулшекинского паравтохтона [29, 30]: 7 – кумулятивные перидотиты (верлиты и лерциты), 8 – габбро, 9 – караулшекиты и магнезиальные диабазы, 10 – кварцевые диабазы спилит-кератофирового комплекса.

Figure 2 – Triangular $\text{TiO}_2 \cdot 10 - \text{Al}_2\text{O}_3 - \text{MgO}$ diagram [after 27] for mafic and ultramafic rocks of the Beleuty, Karaturgai and Karaulsheku suprasubduction complexes from Kazakhstan and the Pechenga ore field.

1-2 – Karaturgai complex of diabases and picrite basalts [5, 6; unpublished data Ryllova (1967)]: 1 – picrate basalts, 2 – quartzose diabases; 3 – Beleuty complex ferrogabbronorite-diabase-picritic of intrusive rocks of the Karsakpai area [2]; 4-6 – rocks of the Pechenga ore field [28, Table 7]: 4-5 – barren: 4 – serpentinised olivinites, 5 – serpentinised wehrlites, 6 – gabbro-verlite nickel complex; 7-10 – igneous rocks of the Karaulsheku paravtohton [29, 30]: 7 – cumulative peridotites (wehrlites and lherzolites), 8 – gabbro, 9 – karaulshekite and Mg-diabase, 10 – quartz diabase-spilite-keratophyre complex.

р. Карагургай несколько обогащены SiO_2 (<39.7%), Al_2O_3 (5.34%), TiO_2 (<0.64%) и щелочами (<0.74%), но недосыщены $\text{FeO}_{\text{общ}}$ (12.85%). В них закономерно растет количество нормативного диопсида, оливина и уменьшается количество нормативного гиперстена, при этом те и другие подчиняются пикритовому тренду (рисунок 2). Это также отчетливо демонстрирует диаграмма $\text{Al}_2\text{O}_3/\text{TiO}_2-\text{CaO}/\text{Al}_2\text{O}_3$ (рисунок 3), где их figurative точки ложатся в поле ферропикритов. Однако по содержанию TiO_2 (<0.64%) и MgO (>30%) они находят аналогию с low-Ti пикритами. Особую группу составляют low- $\text{Al}_2\text{O}_3/\text{TiO}_2$ апопикритовые серпентиниты, отвечающие по минеральному составу оливинитам, в которых нормативный оливин составляет более 90 %.

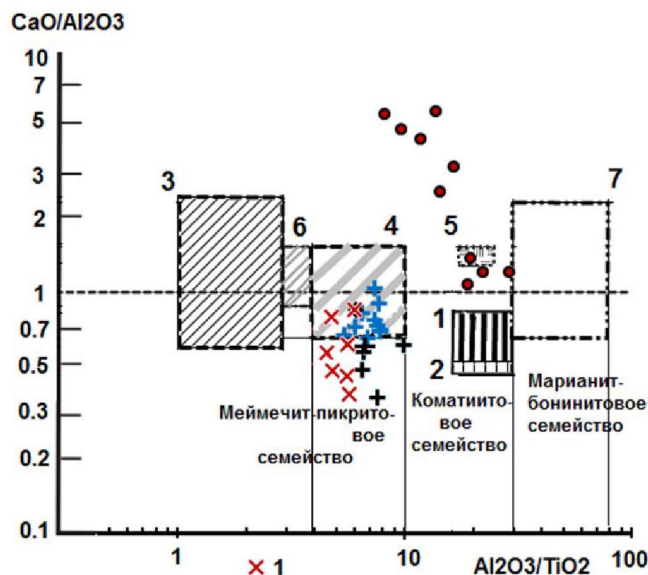


Рисунок 3 – Диаграмма $\text{Al}_2\text{O}_3/\text{TiO}_2$ (АТМ) – $\text{CaO}/\text{Al}_2\text{O}_3$ для высокомагнезиальных пород белеутинского и карагургайского комплексов Ультауского кристаллического массива и Карапулекинского паравтохтона.

Вертикальные линии – границы петрохимических серий по АТМ [31 и упомянутые в ней авторы].

Коматитовое семейство: 1 – коматитовые перидотит-дуниты, 2 – коматиты, 5 – низкотитанистые пикриты.

Меймечит-пикритовое семейство: 3 – меймечиты, 4 – ферропикриты, 6 – пикриты.

Марианит-бонинитовое семейство: 7 – марианиты.

Остальные условные обозначения смотрите на рисунке 2.

Figure 3 – Bivariate $\text{Al}_2\text{O}_3/\text{TiO}_2 - \text{CaO}/\text{Al}_2\text{O}_3$ diagram

for high-Mg volcanic rocks of the Beleut and Karaturgai complexes of Ulytau Range.

Vertical lines show petrochemical series borders over ATM [31].

Komatiite family: 1 – komatiitic peridotite, dunite, 2 – komatiites, 5 – low-Ti picrites.

Meimechite-picrite family: 3 – meimechites, 4 – ferropicrites, 6 – picrites.

Marianite-boninite family: 7 – marianites, group.

For other symbols see Figure 2.

Собственно пикриты по характеру распределению основных петрогенных окислов не отличаются от апопикритовых пород, однако в них постепенно увеличивается уровень SiO_2 (39.86–45.63%), TiO_2 (0.59–1.08%) и уменьшается роль нормативного оливина (56.86–16.65), а также – уровень содержания Cr_2O_3 (<0.25%). На диаграммах отношений $\text{TiO}_2\cdot10-\text{Al}_2\text{O}_3-\text{MgO}$ (рисунок 2) они также принадлежат пикритам, а на диаграмме $\text{Al}_2\text{O}_3/\text{TiO}_2-\text{CaO}/\text{Al}_2\text{O}_3$ (рисунок 3) их figurative точки ложатся в поле ферропикритов.

Однако на статистической диаграмме С. Д. Четверикова [26] отдельные их figurative точки смещаются в область лерцолитов и верлитов, при этом количество нормативного диопсида уменьшается, но растет индекс фракционирования (до 25.6) и соответственно количество нормативного оливина.

В пикрито-диабазе увеличивается роль SiO_2 (44.92%), Al_2O_3 (11.0%), TiO_2 (1.40%) и Na_2O (1.45%), но снижается уровень содержания MgO (17.39%) при этом увеличивается количество нормативного диопсида и на диаграмме $\text{TiO}_2\cdot10-\text{Al}_2\text{O}_3-\text{MgO}$ (рисунок 2) они замыкают пикритовый тренд.

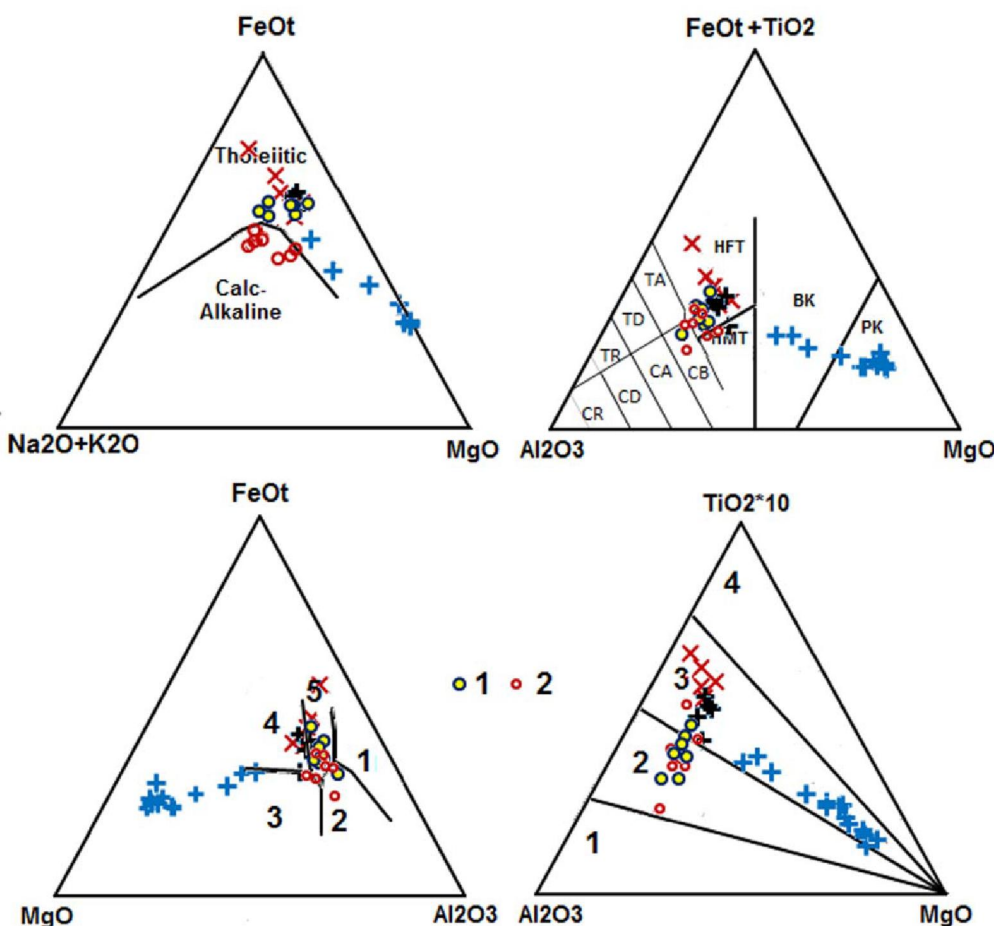


Рисунок 4 – Диаграммы FeOt–Na₂O+K₂O–MgO (мас. %) [32], FeOt+TiO₂–Al₂O₃–MgO (мас. %) [33],
б) FeOt–MgO–Al₂O₃ (мас. %) [34], TiO₂·10–Al₂O₃–MgO (мас. %) [27] для пород Западно-Ультауского пояса.

Вулканиты: РК – пикритовые коматиты, ВК – базальтовые коматиты, Т – толеиты, С – известково-щелочные, HF – высокожелезистые, HM – высокомагнезиальные, В – базальты, А – андезиты, D – дациты, R – риолиты. Базальты: 1 – спрединговых зон, 2 – островных дуг, 3 – срединно-океанических хребтов и океанического дна, 4 – океанических островов, 5 – континентальных рифтов.

Поля вулканических серий: 1 – бонинитовой, 2 – коматитовой, 3 – пикритовой, 4 – щелочно-ультраосновной.
Остальные условные обозначения смотрите на рисунке 2.

Figure 4 – Various discrimination diagrams including FeOt–Na₂O+K₂O–MgO [32], FeOt+TiO₂–Al₂O₃–MgO [33],
b) FeOt–MgO–Al₂O₃ [34], TiO₂·10–Al₂O₃–MgO [27] for volcanic rocks of the West Ulytau Belt.

Volcanic rocks: PK – picritic komatiites, BK – basaltic komatiites, T – tholeiites, C – calc-alkaline, HF – high-Fe-, HM – high-Mg, B – basalts, A – andesites, D – dacites, R – rhyolites.

Basalts: 1 – spreading center islands, 2 – for island and continental arcs, 3 – mid-oceanic ridges and oceanic floor, 4 – oceanic islands, 5 – continental rifts.

Volcanic series fields: 1 – boninites, 2 – komatiites, 3 – picrites, 4 – alkaline-ultramafic rocks. For symbols see Figure 2.

По соотношениям FeOt–Na₂O+K₂O–MgO (рисунок 4) все они отвечают толеитам, а на диаграмме FeOt+TiO₂–Al₂O₃–MgO (рисунок 4) первая группа пород соответствует пикритовым коматитам, а вторая – базальтовым коматитам.

Диабазы и кварцевые диабазы обогащены SiO₂ (>47.32%), Al₂O₃ (<14.45%), TiO₂ (1.88–2.25%), в них резко увеличивается роль Na₂O (2.03–2.35%), K₂O (0.25–0.76%) и P₂O₅ (до 0.25%) относительно пикритов. По отношению к пикритам в них увеличивается количество нормативного ильменита (до 2.85%). По характеру накопления железа и титана они типичные high-Fe толеиты (рисунок 4), а на дискриминационной диаграмме отношений TiO₂·10–Al₂O₃–MgO (рисунок 2) их фигуративные точки располагаются в поле пикритовой серии, на их родство с пикритами указывают и отношения Al₂O₃/TiO₂ к CaO/Al₂O₃ (рисунок 3).

На диаграмме FeOt–MgO–Al₂O₃ (рисунок 4), позволяющей судить о геодинамической природе, их фигуративные точки в основном располагаются вдоль линии раздела базальтов континентальных рифтов и океанических островов.

По результатам спектрального полуколичественного анализа [5, 11] пикриты карагургайского комплекса обогащены сидерофильными (Mo, Co, Ni), несовместимыми (Sr, Ba, Zr) и совместимыми (Ni, Co, V, Sc) элементами, а также имеют высокие концентрации элементов с высокозаряженными ионами (Zr, Y), что характерно для ультраосновных пород, подчиняющихся боузновскому тренду дифференциации. Высокие концентрации совместимых элементов показывают малую степень фракционирования мантийного вещества.

Краткое петрографическое описание пород белеутинского феррогаббронорит-диабаз-пикритового комплекса Карасакпайского района приведено по данным Ю. И. Половинкиной [2] и В. М. Добрынина и его соавторов [7].

Ю. И. Половинкиной в составе карасакпайской серии в долине р. Сары-Сая описаны силлы (пластиевые интрузии) гипабиссальных серпентинитов, которые находятся в ассоциации с диабазами. По минеральному составу серпентиниты аналогичны апопикритовым серпентинитам бассейна р. Карагургай. Они сложены оливином, клинопироксеном, амфиболом, хлоритом, реже биотитом и магнетитом. Структура породы аллотриоморфнозернистая.

Диабазы, кварцевые диабазы слагают небольшие гипабиссальные тела, имеющие форму крутых межпластовых залежей, как отмечают составители геологической карты [10], наряду с линейно-вытянутыми телами отмечены тела, имеющие сложную конфигурацию, отвечающую рисунку складчатости вмещающих толщ карасакпайской и боздакской серий.

По определению Ю. И. Половинкиной [2], основная масса пород имеет диабазовую структуру и состоит из лейст серицитизированного и пелитизированного альбита, хлорита, эпидота, кварца, рудного минерала, апатита и лейкоксена.

Наличие кварца и значительное содержание апатита составляют характерную черту состава диабазов белеутинского комплекса, что отличает их от диабазовых порфириотов из разреза карасакпайской серии [2].

В долине ручья Кара-Керегетас известны редкие гипабиссальные интрузивные тела баркевитовых диабазов и габбро?-диабазов порфиробластового облика. По мнению Ю. И. Половинкиной [2], баркевитовый характер первичного амфиболя указывает на то, что диабаз имеет щелочной состав и является переходной разновидностью к эссексит-диабазу.

Если все вышеописанные породы являются палеотипными, то в долине ручья Кара-Керегетас Ю. И. Половинкиной [2] были описаны амфибол-плагиоклазовые порфирииты среднего состава со стекловатой основной массой. Основная масса гиалиновая, без микролитов; стекло светлое, прозрачное, с мельчайшими зернышками рудного вещества, акцессорные минералы – апатит, рудный минерал, лейкоксенизированный.

По содержанию основных петрогенных компонентов диабазы карагургайского и белеутинского комплексов очень схожи и они хорошо сопоставляются с high-Fe толеитами. Однако от карагургайских диабазов они отличаются высокими содержаниями титана ($TiO_2 > 2.19\%$) и железа, в отдельных пробах FeOt достигает 17.13%, на этом фоне происходит некоторое уменьшение содержания MgO (2.24%).

В щелочных диабазах повышенны концентрации щелочей при резком преобладании K₂O (4.27%) над Na₂O (1.58%). На всех дискриминационных диаграммах они унаследуют тренды диабазов пикритового семейства (рисунки 2-4).

Особую группу пород образуют жилы карбонатных пород с сульфидами, вскрытые скважиной в бассейне рек Койтас и Карагургай (Рылов и др., 1967 г.). Нормативный минеральный состав, рассчитанный по силикатной пробе из этих карбонатных пород, содержащих до 5 мас. % щелочей и 22.78 мас. % оксида кальция, показал: нефелин (15%), волластонит (19 %), диопсид (35 %) и апатит (1 %), остальное приходится на плагиоклаз и ортоклаз, такие породы вполне могут быть отнесены в карбонатитам. На левом берегу речки Майке (проявление Заречное), что впадает в реку Карагургай, также известны доломиты с сульфидами свинца. Карбонатиты с медью встречаются на проявлении Барха и проявление золота северо-восточнее поселка Маятас. Редкоземельные элементы установлены и на проявлении Восточный Акжал, выходы которого пространственно сопряжены

с пикритами и апопикритовыми серпентинитами горы Акжал. Такие зоны минерализации сопровождаются литохимическими ореолами Nb, Y, Th и TREE. Такая же ситуация отмечается и на рудопроявлении Придорожное, где комплексные колчеданные руды пространственно и генетически приурочены к дайкам пикритов.

Сопоставительный анализ. Диабазы, кварцевые диабазы диабаз-пикритового комплекса довольно четко отличаются от метабазальтов карсакпайской серии, что наглядно демонстрируют дискриминационные диаграммы на рисунке 4.

Состав метабазальтов карсакпайской серии довольно изменчив. В районе рек Шагырлы и Балта они по составу отвечают high-Fe толеитам и различаются по содержанию щелочей (рисунок 4). В районе рек Белеуты и Керегетас метабазальты (рисунок 4) на диаграмме $\text{FeO}t\text{-Na}_2\text{O+K}_2\text{O-MgO}$ [32] отвечают составу вулканитов известково-щелочной серии. На диаграмме $\text{FeO}t\text{-TiO}_2\text{-Al}_2\text{O}_3\text{-MgO}$ [33] их можно сопоставить с high-Fe и high-Mg толеитами, что в целом характерно для вулканитов континентальных рифтов и отчасти для сиалических островных дуг [34].

На многоэлементных диаграммах С. П. Верма [35], позволяющих судить о геодинамической природе, фигуративные точки метабазальтов также располагаются в поле базальтов континентальных рифтов и только низкомагнезиальные их разновидности тяготеют к полю базальтов островных дуг.

На диаграмме $\text{TiO}_2\text{-Al}_2\text{O}_3\text{-MgO}$ [27] их фигуративные точки тяготеют к полю вулканитов коматитовой серии (рисунок 4), чем они также отличаются от пород белеутинского феррогаббронорит-диабаз-пикритового комплекса.

Основываясь на этих данных можно с полной уверенностью утверждать, что метавулканиты карсакпайской серии и диабазы белеутинского комплекса генетически не связаны между собой, к чему ранее склонялись авторы [2, 7].

Метабазальты карсакпайской серии по химическому составу отвечают базальтам континентальных рифтов, что не вписывается в схему [11] их образования в условиях спрединга окраинноморского палеобассейна на коре океанического типа.

Относительно невысокий уровень $\text{FeO}_{\text{общ}}$ метабазальтов карсакпайской серии вряд ли мог быть источником при образовании железистых кварцитов, т.е. нет прямой связи между протерозойским вулканизмом и образованием железистых кварцитов.

С большой долей вероятности можно утверждать, что железистые кварциты, залегающие на различных стратиграфических уровнях в составе карсакпайской и боздакской серии, связаны с гидротермальными процессами, протекающими в период внедрения пород феррогаббронорит-диабаз-пикритового комплекса.

Доказательством тому может быть не только основной и ультраосновной состав железистых кварцитов: SiO_2 (15–50 % (среднее 35 %)); FeO (31.7–45.9 % (среднее 40.4 %)); Al_2O_3 (2.5–4.5 %); Mn (0.1–0.01 %); Ti (0,1 %); CaO (1%); Mo (0,3 %), Zn и Pb (0,1%), но и их минеральный состав, которые наряду с главными рудными минералами содержат альбит, серицит, хлорид, апатит, турмалин, щелочной амфибол, пирит, реже халькопирит, галенит и сфалерит [17].

Это дает основание предполагать, что железистые кварциты есть продукт гидротермальных процессов, на что еще ранее обратил внимание К. И. Сатпаев [18]. Такое понимание генезиса железистых кварцитов, как полагает Н. И. Литвиненко [36], может положительно повлиять на обнаружение в них и вмещающих их толщах эндогенных рудопроявлений золота, металлов платиновой группы, апатита, редких и радиоактивных элементов.

Высокие концентрации Mo , Zn и Pb также могут быть свидетельством того, что формирование руд фосфорно-медно-свинцово-цинково-железорудной формации происходило в коре континентального типа.

Петрографические и изотопно-геохронологические данные позволяют говорить, что в процесс осадконакопления пород боздакской серии были вовлечены гранитоиды неопротерозойского возраста и метаморфические породы архейского и палепротерозойского возраста. Эти данные также указывают на существование в основании Южно-Улытавского террейна архейской континентальной коры [37].

С пикритами и пикрито-диабазами карагутгайского комплекса пространственно и генетически ассоциируют сульфиды меди и никеля, имеющие неправильную каплевидную, реже остроугольную

форму [5, 9]. О. Б. Бейсеев и его соавторы [12] детально изучили минеральный состав оруденения и выделили, в порядке убывания, пирротин, пентландит, халькопирит, магнетит, никелин, кобальтин, сперрилит, титаномагнетит, ильменит и хромит.

К. Ш. Дюсембаева [38] дополнила эту рудную ассоциацию герсдорфитом, ковеллином, бравоитом, арсенопиритом.

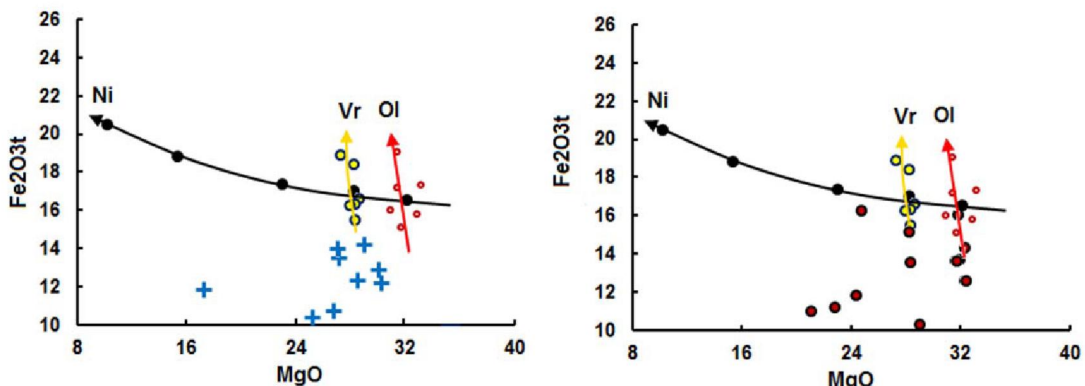


Рисунок 5 – Диаграмма $MgO-Fe_2O_3t$ (мас. %) для ультраосновных пород.

Стрелками показаны тренды: Ni – пород печенгского никеленосного комплекса; нерудных пород Печенги: Vr – серпентинизированных верлитов и Ol – серпентинизированных оливинитов.

Условные обозначения см. на рисунке 2.

Figure 5 – Bivariate $MgO-Fe_2O_3t$ diagrams for ultramafic rocks.

Arrows indicate a trend: volcanic rocks with Ni mineralization from the Pechenga ore field; nonmetallic rocks from the Pechenga ore field: Vr – serpentinized wehrellites and Ol – serpentinized olivinites.

For symbols see Figure 2.

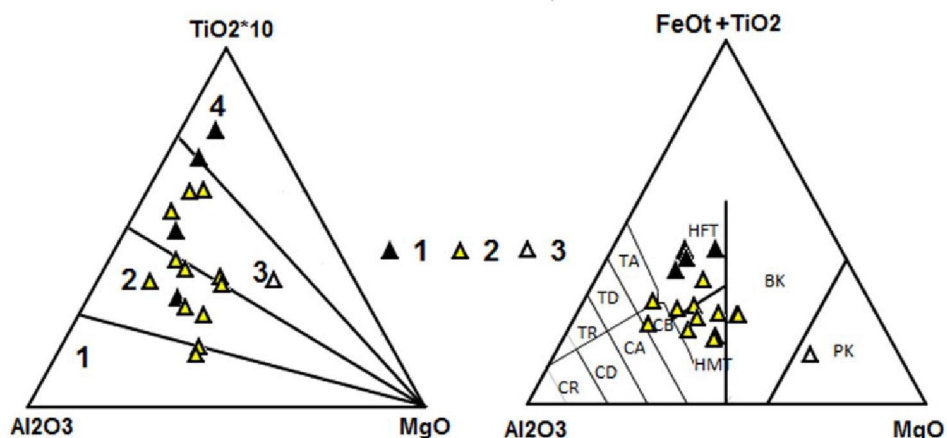


Рисунок 6 – Диаграммы $TiO_2 \cdot 10-Al_2O_3-MgO$ (мас. %) [27], $FeOt+TiO_2-Al_2O_3-MgO$ (мас. %) [33] для пород неопротерозойских интрузий ультатуского перидотит-пироксенит-габбро-плагиогранитного комплекса.

1 – пироксениты и косвивты, 2 – габбро и 3 – пикрит перидотит-пироксенит-габбро-плагиогранитного комплекса.
Условные обозначения см. на рисунке 2, 5.

Figure 6 – Diagrams $TiO_2 \cdot 10-Al_2O_3-MgO$ [27], $FeOt+TiO_2-Al_2O_3-MgO$ [33]

for the Neoproterozoic intrusive rocks of the Ulytau peridotite-pyroxenite-gabbro-plagiogranite complex:
1 – pyroxenites and koswites, 2 – gabbro and 3 – picrite peridotite-pyroxenite-gabbro-plagiogranite complex.
For symbols see Figure 2.

Среднее содержание в руде цветных и благородных металлов составляет: Ni (11%); Cu (9%); Co (0,18%); Pt (5 г/т); Pd (16 г/т) и Au (0,5–0,9 г/т). Преобладание Pd над Pt в медно-никелевых рудах [39] также подтверждает правомерность сопоставления пород гипабиссального каратургайского комплекса с диабаз-пикритовой формацией, а не с габбро-верлитовой формацией [12], аналоги которой детально изучены в Печенгском рудном районе [28] и медно-никелевые руды которой, как правило, специализированы на Pt.

Не подтверждается их петрохимическая аналогия как с безрудными оливинитами и верлитами, так и с породами габбро-верлитового интрузивного никеленосного комплекса Печенги [28], что наглядно демонстрируют диаграмма отношений MgO – Fe_2O_3 (рисунок 5) и дискриминационная диаграмма TiO_2 ·10– Al_2O_3 – MgO (рисунок 2).

На гипабиссальную природу ультраосновных пород каратургайского комплекса указывает и присутствие в составе рудного парагенезиса гарцбургита, образование которого, как правило, связывают [40] с низкотемпературными, гидротермальными процессами.

Породы каратургайского гипабиссального диабаз-пикритового комплекса являются производными плавления шпинелевого перidotита, тогда как породы гарцбургит-перidotит-габбро-плагиогранитных комплексов офиолитов Центрального Казахстана образовались в результате плавления гранатового перidotита (рисунок 7). Если обратимся к диаграмме TiO_2 ·10– Al_2O_3 – MgO [27], то и здесь эти комплексы отвечают двум различные сериям: первые – пикритовой, а вторые – коматитовой и отчасти бонинитовой (рисунок 2), что ясно видно и на диаграмме Al_2O_3 / TiO_2 – CaO / Al_2O_3 (рисунок 3).

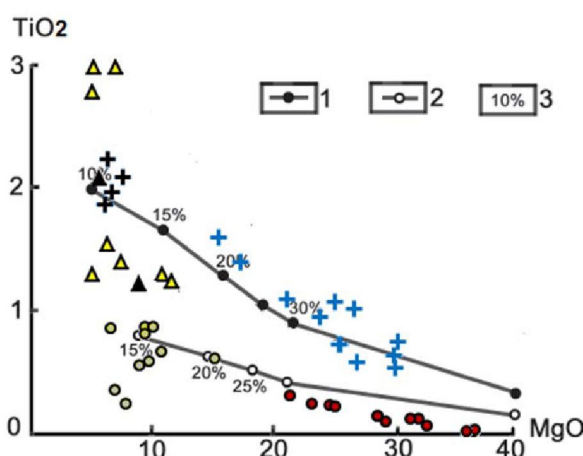


Рисунок 7 – Диаграмма TiO_2 – MgO (мас. %) [41] для пород каратургайского диабаз-пикритового, неопротерозойского ультаянского перidotит-пироксенит-габбро-плагиогранитного комплексов гор Ультая и гарцбургит-перidotит-габбро-плагиогранитного комплекса надсубдукционных офиолитов Центрального Казахстана.

1 – тренд плавления шпинелевого перidotита; 2 – тренд плавления гранатового перidotита; 3 – степень плавления.
Условные обозначения см. на рисунке 2, 6.

Figure 7 – Diagram TiO_2 – MgO [41] for volcanic rocks of the Karaturgai diabase-picritic complex and Neoproterozoic Ulytau peridotite-pyroxenite-gabbro-plagiogranite complex of Ulytau Range, and harzburgite-peridotite-gabbro-plagiogranite subduction ophiolite complex of Central Kazakhstan.
1 – melting trend of spinel peridotites; 2 – melting trend of garnet peridotites; 3 – partial melting.
For symbols see Figure 2, 6.

С пикритами каратургайского комплекса пространственно и генетически связаны сульфидоносные карбонатиты иттриевой специализации, которые не известны в структурах с океаническим типом коры.

Эти данные еще раз подтверждают несостоятельность выводов И. И. Вишневской и И. Ф. Трушовой [6] об аналогии гипабиссального каратургайского комплекса с офиолитами нижнего палеозоя Центрального Казахстана, которые по составу отвечают надсубдукционным офиолитам [30].

Породы ультаянского перidotит-пироксенит-габбро-плагиогранитного комплекса [9, 10, 42], по-видимому, образовались в результате плавления различных мантийных источников (рисунки 6, 7), чем они отличаются от пород диабаз-пикритового комплекса.

Характерной особенностью состава пород ультаянского комплекса является присутствие коссвитов, которые могут содержать элементы платиновой группы. Габброиды неоднородны по петрохимическому составу, преобладают high-Mg толеиты, реже они отвечают породам известково-щелочной серии, а пироксениты, как правило, отвечают high-Fe толеитам, крайне редко встречаются дайки low-Fe пикритов.

В настоящее время выделяются два типа исходных ультраосновных расплавов и отвечающих им формационных типов пикритов: толеитовый и субщелочной [41]. Еще ранее Н. П. Михайлов и Ю. Л. Семенов [5] предложили выделять два тренда дифференциации пикритов: 1) нормального типа с авгитом и бурой роговой обманкой, 2) более щелочной с титано-авгитом и баркевикитом. Последние обычно встречаются в тех случаях, когда в серии диабазов появляются тешениты, а также эссеекситы и другие щелочные габброиды.

Химический состав пикритов карагутгайского комплекса свидетельствует об их принадлежности к ультрабазитам нормального ряда, что еще ранее отметили Н. П. Михайлов и Ю. Л. Семенов [5], с отношением $\text{CaO}/\text{Al}_2\text{O}_3 < 1$, содержанием $\text{TiO}_2 (< 1 \text{ мас. \%})$, при постоянном, но незначительном преобладании $\text{Na}_2\text{O} (< 0.65 \text{ мас. \%})$ над $\text{K}_2\text{O} (< 0.24 \text{ мас. \%})$. Ассоциирующие с пикритами high-Fe толеитовые диабазы также имеют низкие отношения $\text{CaO}/\text{Al}_2\text{O}_3$, значительно ниже 1, однако с повышенным содержанием $\text{TiO}_2 > 1 \text{ мас. \%}$ и постоянным преобладанием $\text{Na}_2\text{O} (> 2.0 \text{ мас. \%})$ над $\text{K}_2\text{O} (> 0.25 \text{ мас. \%})$.

К второму типу относится белеутинский комплекс, поскольку в его составе известны баркевикитовые диабазы, переходящие к эссеексит-диабазам [2]. Присутствие в составе белеутинского феррогаббронорит-диабаз-пикритового комплекса эссеексит-диабазов является его основным отличительным признаком от диабаз-пикритов нормального ряда карагутгайского комплекса. High-Fe дифференцированные толеитовые диабазы белеутинского комплекса обогащены $\text{TiO}_2 (> 2 \text{ мас. \%})$ и $\text{FeO}_{\text{общ}} (< 17.13 \text{ мас. \%})$. В них значительно увеличивается роль щелочей при преобладании $\text{Na}_2\text{O} (< 2.8 \text{ мас. \%})$ над $\text{K}_2\text{O} (< 1.5 \text{ мас. \%})$ и уменьшается отношение $\text{CaO}/\text{Al}_2\text{O}_3 < 0.8$. В нефелин-нормативных эссеексит-диабазах резко увеличивается роль $\text{K}_2\text{O} (4.27 \text{ мас. \%})$ и $\text{TiO}_2 (2.64 \text{ мас. \%})$, а отношение $\text{CaO}/\text{Al}_2\text{O}_3$ уменьшается до 0.44. Замыкают субщелочный ряд амфиболово-плагиоклазовые андезитовые порфириты со стекловатой основной массой.

Отсутствие в составе Западно-Улытауского пояса лав, вулканических брекчий, гиалокластитов и туfov пикритов, столь характерных для обстановок интенсивного растяжения континентальной коры [41], свидетельствует об образовании гипабиссальных пород диабаз-пикритового комплекса в условиях режима общего сжатия (коллизии) на поздних стадиях развития Улытауской складчатой области в неопротерозое в период формирования суперконтинента Родиния. Проявления пикритового магматизма в таких областях обусловлены увеличением «жесткости» складчатых областей и заложением глубинных внутрикоровых разломов [41].

Вероятно, в таких условиях протекал магматизм в пределах Западно-Улытауского пояса, приуроченность пикритового и диабазового магматизма к глубинным разломам, фиксирующихся в поверхности раздела Мохоровичича в пределах описываемого района, обсуждалась и ранее Г. Ф. Ляпичевым [9].

Породы диабаз-пикритового комплекса Западно-Улытауского пояса образовались при высокой степени (от 35 до 10%) плавления шпинелевого перидотита. Высокая степень плавления шпинелевого перидотита дает основание утверждать, что диабаз-пикритовый комплекс сформировался в процессе внутрикамерной дифференциации пикритовой магмы.

Появление щелочных диабазов, поздних выплавок, в составе белеутинского комплекса может указывать на несколько большую глубину магмогенерации исходной мантийной магмы под структурами Южного Улытау. Щелочные диабазы белеутинского комплекса практически не содержат магнетит, как известно [43], такие магмы формируются в восстановительной среде, газонасыщены водородом, метаном и в наибольшей степени обогащены щелочными, щелочноземельными, радиоактивными и редкоземельными элементами.

Такие high-Fe, газонасыщенные водородом и метаном магмы могли быть источником газированных кварцево-рудных растворов, которые, по мнению И. И. Танатара [20], могли быть источником образования железистых кварцитов. Газонасыщенные водородом и метаном растворы могли переносить фосфор, медь, свинец и цинк, что способствовало образованию руд фосфорно-медно-свинцово-цинково-железорудной формации.

Генетическая связь железистых кварцитов с мантийными породами установлена в последнее время по минералогическим и геохимическим особенностям цирконов руд тараташского комплекса на Южном Урале [44].

Возможными петрологическими аналогами основных и ультраосновных пород Западно-Ульяуского пояса являются пикритовые, диабаз-пикритовые комплексы западного склона Южного Урала, образующие несколько различные по составу и возрасту дайково-силловые комплексы [41]. Одной из характерных особенностей пород таких комплексов является наличие стекловатой основной массы в породах раннерифейского – палеозойского возраста в пределах Башкирского мегатеррейна западного склона Южного Урала.

По-видимому, петрологическим аналогом диабаз-пикритового каратургайского комплекса является мезопротерозойский лапыштинский комплекс Башкирского мегатеррейна западного склона Южного Урала, который образовался [45], как и каратургайский комплекс, при большой степени плавления мантийного субстрата и меньшей глубине очага магмогенерации.

Для тех и других характерны высокие отношения Ni/Co, это позволяет говорить о том, что расплавы, формирующие такие комплексы [46], выплавлялись непосредственно из мантийного субстрата, не претерпевшего фракционирование в промежуточной камере. Высокие концентрации когерентных элементов пикритов также показывают малую степень фракционирования мантийного вещества.

От послеордовикских? пикритов Северного Урала, прослеживающихся от верховий р. Вишеры до р. Усьвы [47], пикриты каратургайского комплекса отличаются отсутствием в их акцессорной фазе граната пироп-альмандинового состава.

Аналогами белеутинского комплекса может быть феррогаббронорит-диабаз-пикритовый мисаэлинский и лысогорский комплекс западного склона Южного Урала. Однако следует отметить, что последние являются продуктами плавления наиболее глубинных (фации гранатовых перидотитов) и менее истощенных первичных расплавов [45]. Важно отметить, что с ними пространственно и, вероятнее всего, генетически связаны месторождения железистых кварцитов тараташского комплекса на Южном Урале.

Общим для диабаз-пикритовых комплексов Западно-Ульяуского пояса и западного склона Урала являются широкий спектр содержания главных петрогенных окислов, повышенное содержание оксидов железа, постоянное преобладание Al_2O_3 над CaO , а также локальное проявление щелочного магматизма, благороднометальная геохимическая специализация пикритов и генетическая связь железистых кварцитов с магмами high-Fe щелочных диабазов.

Петрогенетические выводы. Выполненное петрогохимическое сопоставление пород дает нам возможность сделать ряд предварительных выводов о генезисе основных и ультраосновных магм и их металлогении в пределах Западно-Ульяуского пояса.

Впервые генетическая связь железистых кварцитов Карсакпайского рудного района с основным и ультраосновным магматизмом, отражающим начальную стадию заложения геосинклиналии, была отмечена Ю. И. Половинкиной [2]. Предполагалось, что после излияния основной магмы и ее пирокластов происходило внедрение интрузивных масс габбро-диабазов и ультрамафитов (пикритов), а еще позднее внедрились экструзии диабазов и андезитовых порfirитов. Такая последовательность образования магматических комплексов в пределах Западно-Ульяуского пояса и сегодня находит свое подтверждение.

Современная петрогохимическая база данных магматических пород и железистых кварцитов описываемого района позволила внести некоторые корректировки в схему, разработанную Ю. И. Половинкиной [2].

Метабазальты карсакпайской серии отвечают составу вулканитов известково-щелочной серии и high-Fe базальтам толеитовой серии, что в целом характерно для вулканитов континентальных рифтов, а не для раннегеосинклинальных (океанических) комплексов.

В составе Западно-Ульяуского пояса выделены два гипабиссальных комплекса: на севере – каратургайский диабаз-пикритовый комплекс, на юге – белеутинский феррогаббронорит-диабаз-пикритовый комплекс, а в составе Восточно-Ульяуского пояса выделен ульяуский перидотит-пироксенит-габбро-плагиогранитный комплекс.

Породы каратургайского и белеутинского комплексов Западно-Ульяуского пояса образовались при высокой степени плавления шпинелевого перидотита, тогда как породы гарцбургит-перидотит-габбро-плагиогранитных комплексов офиолитов Центрального Казахстана формировались в результате плавления гранатового перидотита, которые в своем большинстве отвечают надсубдук-

ционным офиолитам, формирующимся на различных стадиях развития палеоостроводужных систем Центрального Казахстана.

Породы неопротерозойского ульттауского периidotит-пироксенит-габбро-плагиогранитного комплекса образовались в результате плавления различных мантийных источников, чем они существенно отличаются от пород диабаз-пикритовых комплексов.

Внедрение гипабиссальных каратургайского и белеутинского комплексов Западно-Ульттауского пояса происходило на фоне сжатия (коллизии) складчатых структуры Ульттауского террейна в период образования суперконтинента Родиния [48], а не в процессе рифтогенеза континентальной и тем более океанической коры.

С пикритами каратургайского комплекса генетически и пространственно связаны сульфидные платиноидно-медно-никелевые руды. Формирование таких руд связано с несмесимостью сульфидных и силикатных расплавов, чем и обусловлено образование сульфидных глобул, которые встречаются, как правило, в горизонтах пикритов, скопления сульфидов остроугольной формы встречаются преимущественно в составе апопикритовых серпентинитов, тяготеющих к подошве пикритовых силлов каратургайского комплекса. Также с пикритами каратургайского комплекса генетически и пространственно связаны сульфидоносные карбонатиты, обогащенные Nb, Th и TREE. В составе их кор выветривания наряду с черцитом (водным фосфатом иттрия) присутствуют минералы: биотит, хлорит, альбит, эпидот, апатит, рутил, ильменит, циркон [49].

Не исключено, что они могут быть коренными источниками алмазов, которые на сегодня известны в составе карбонатитов [50]. Образование карбонатитов каратургайского комплекса, имеющих иттриевую специализацию, по-видимому, следует увязывать с переносом углерода из мантийного источника восстановительными флюидами, состоящими из метана, водорода, окиси углерода и других газов [51], которые способствовали образованию карбонатитов кальцит-доломит-анкеритового типа.

Повышение уровня щелочности пород поздних дифференциатов белеутинского комплекса Западно-Ульттауского пояса обусловлено как мощностью коры, так и глубиной залегания магматического очага.

Образование железистых кварцитов Карсакпайского рудного района, по-видимому, связано с гидротермальными процессами, протекающими в период внедрения high-Fe щелочных диабазов, являющихся поздними дифференциатами плавления шпинелевых периidotитов.

Их high-Fe, газонасыщенные водородом и метаном магмы могли быть источником газированых кварцево-рудных растворов. Газонасыщенные водородом и метаном растворы могли переносить не только железо, но и фосфор, медь, свинец и цинк, что способствовало образованию руд фосфорно-медно-свинцово-цинково-железорудной формации.

Однако авторы понимают, что вопрос генезиса железистых кварцитов Карсакпайского и карбонатитов Маятасского рудных районов Ульттау в отсутствие достоверных изотопных данных остается открытым и ждет своего решения.

Вопрос, являются ли апопикритовые серпентиниты белеутинского комплекса источником медно-никелевой минерализации, остается открытым.

Возраст пород каратургайского и белеутинского комплексов Западно-Ульттауского пояса условно принимается неопротерозойским до рифтогенного этапа (825 млн. лет [48]).

Тому подтверждением является их структурное положение, а также то, что их породы слагают дайки и силлы не только в пределах мезопротерозойских толщ, но и неопротерозойской боздакской серии и не встречаются в составе более молодых геологических комплексов хр. Ульттау.

Авторы благодарят И. В. Глухана (Россия), Д. В. Гуревича (Казахстан) и Л. Е. Попова (Англия) за критические замечания и полезные дискуссии в процессе написания статьи.

ЛИТЕРАТУРА

- [1] Кассин Н.Г. Докембрий Казахстана // Сов. геол. – 1938. – № 1. – С. 22–41.
- [2] Половинкина Ю.И. Основные и ультраосновные породы Карсакпая в связи с проблемой генезиса железистых кварцитов. – Госгеолиздат, 1952. – 87 с.
- [3] Зайцев Н.А., Филатова Л.И. Новые данные о строении докембрая Улутау // Вопросы геологии Центрального Казахстана. – Т. 10. – М.: Изд-во МГУ, 1971. – С. 21–91.

- [37] Летникова Е.Ф., Дмитриева Н.В., Третьяков А.А., Каныгина Н.А., Вишневская И.А., Жимулов Ф.И. Основные этапы тектоно-магматической активности Улутауского континентального блока (Центральный Казахстан): свидетельства в позднедокембрийской осадочной летописи (изотопные данные) // Материалы международной научно-практической конференции «Геология, минерагения и перспективы развития минерально-сырьевых ресурсов Республики Казахстан», посвящ. 75-летию Института геологических наук им. К. И. Саппаева, 26–27 ноября 2015. – С. 135–138.
- [38] Байбатша А.Б., Дюсембаева К.Ш., Маманов Е.Ж. Минералогия руд медно-никелевого рудопроявления «Караторгай» // Известия НАН РК. Серия геологии и технических наук. – 2015. – № 5. – С. 90–95.
- [39] Маракушев А.А., Панеях Н.А., Маракушев С.А. Сульфидное рудообразование и его углеводородная специализация. – М.: ГЕОС, 2014. – 184 с.
- [40] Бетехтин А.Г. Минералогия. – М.: ГИГЛ, 1950. – 956 с.
- [41] Магматические горные породы. Ультраосновные породы / Отв. ред. Е. Е. Лазько, Е. В. Шарков. – М., 1988. – 508 с.
- [42] Макарычев Г.И., Гесь М.Д., Пазилова В.И. Докембрийские офиолиты Улутау в свете стадийного развития земной коры // Геотектоника. – 1983. – № 4. – С. 60–74.
- [43] Лутц Б.Г. Верхняя мантия Земли и формирование коры континентов // Вестник АН СССР. – 1973. – № 10. – С. 24–36.
- [44] Краснобаев А.А., Козлов В.И., Пучков В.Н., Бушарина С.В., Бережная Н.Г., Нехорошева А. Г. Цирконология железистых кварцитов Тараташского комплекса на южном Урале // Доклады Академии наук. – 2011. – Т. 437, № 6. – С. 803–807.
- [45] Ковалев С.Г. Новые данные по геохимии диабаз-пикритового магматизма западного склона Южного Урала и условия его формирования // Литосфера. – 2011. – № 2. – С. 68–83.
- [46] Когарко Л.Н. Отношение Ni/Co-индикатор мантийного происхождения магмы // Геохимия. – 1973. – № 10. – С. 1441–1446.
- [47] Лукьянкова Л.И., Вольнин А.Ф. Сравнительная характеристика пикритовых комплексов Урала в связи с вопросом их генезиса // Зап. Всесоюз. минерал. о-ва. – 1979. – Вып. 5. – С. 570–577.
- [48] Li Z.X., Bogdanova S.V., Collins A.S., Davidson A., De Waele B., Ernst R., Evans D., Fitzsimons I., Fuck R.A., Gladkochub D.P., Jacobs J., Karlstrom K.E., Lu S., Natapov L., Pease V., Pisarevsky S.A., Thrane K., Vernikovsky V. How not to build a supercontinent: A reply to J. D. A. Piper. // Precambrian Research. – 2009. – N 174(1-2). – P. 208–214.
- [49] Нсанов Р.А. Итгрий – редкоземельное оруденение в корах выветривания Маятасского рудного поля (Северный, Улытау): Автореф. – Алматы, 1993. – 18 с.
- [50] Шумилова Т.Г. Находки алмазов и графитподобного вещества в карбонатитах, о. Фузртевентура, Испания // Вестник. – октябрь, 2005 г. – № 10. – С. 17–18.
- [51] Старостин В.И., Игнатов П.И. Геология полезных ископаемых: учебник для вузов. – М.: Академический проект, 2004. – 512 с.

REFERENCES

- [1] Kassin N.G. Dokembrij Kazahstana // Sov. geologija. 1938. N 1. P. 22–41.
- [2] Polovinkina Ju.I. Osnovnye i ul'traosnovnye porody Karsakpaja v svjazi s problemoj genezisa zhelezistykh kvarcitov. Gosgeolizdat, 1952. 87 p.
- [3] Zajcev N.A., Filatova L.I. Novye dannye o stroenii dokembrija Ultaua // Voprosy geologii Central'nogo Kazahstana. Vol. 10. M.: Izd-vo MGU, 1971. P. 21–91.
- [4] Mihajlov N.P. Intruzivnye ofiolitovye kompleksy Vostochnogo Kazahstana // V kn.: Osnovnye i ul'traosnovnye magmaticheskie formacii i podvizhnnyh pojasov. "Trudy SETEJ", nov. ser. Vol. 80. L.: Nedra, 1962. P. 109–223.
- [5] Mihajlov N.P., Semenov Ju.L. Karaturgajskij diabaz-pikritovyj kompleks v Kazahstane i nekoto-rye voprosy petrologii pikritov // Sovetskaja geologija. 1965. N 3. P. 43–58.
- [6] Vishnevskaja I.I., Trusova I.F. Zapadno-Ulytauskij pojas ul'traosnovnyh i osnovnyh porod // Geologija i razvedka. 1967. N 11. P. 32–43.
- [7] Dobrynin V.M., Knipper A.L., Shtrejs N.A., Redaktor A. I. Borovikov. Geologicheskaja karta SSSR masshtaba 1 : 200 000. Serija Ultau-Kokchetavskaja. List L-42-I. Ob'jasnitel'naja zapiska. M.: Nedra, 1968. 67 p.
- [8] Bejseev O.B. Sul'fidnoe medno-nikel'-kobal'tovoe orudenie v massivah ul'traosnovnyh i os-novnyh porod bassejna reki Karaturgaj (Severnyj Ulytau). Alma-Ata: ONTI KazIMSA, 1968. 55 p.
- [9] Mihajlov N.P., Injakin M.V., Ljapichev G.F. Petrografija Central'nogo Kazahstana. Vol. 2. Intruzivnye formacii osnovnyh i ul'traosnovnyh porod. M.: Nedra, 1971. 360 p.
- [10] Geologicheskaja karty Kazahskoj SSR, masshtaba 1 : 500 000, serija Central'no-Kazahstanskaja. Ob'jasnitel'naja zapiska. Alma-Ata, 1981. 322 p.
- [11] Antonjuk R.M., Evseenko R.D., Ismailov H.K., Maslova I.G. Problemy stratigrafii i metamorfizma dokembrija i nizhnego paleozoja Ulytau. Part I: Stratigrafija // Izvestija NAN RK. Serija geologicheskaja. 2009. N 3. P. 4–18.
- [12] Bejseev O.B., Bejseev A.O., Al'piev E.A., Kashkimbaev K.K. Geologicheskie i geotekhnologicheskie kriterii ocenki promyschlennyyh perspektiv novyh rudoprojavlenij cyetnyh, blagorodnyh metallov i nerudnogo syr'ja Zheskazgan-Ultauskogo rajona kak materialov dlja vysokih tehnologij. Almazy, zoloto i blagorodnye metally. Geomaterialy. 2010. P. 137–141.
- [13] Trusova I.F. Nizhnepaleozojskie ul'traosnovnye i osnovnye intruzii Central'nogo Kazahstana // Trudy Inst. geol. nauk AN SSSR. 1948. Vyp. 92. 108 p.
- [14] Grigajtis R.K., Il'chenko L.N., Kras'kov L.N. Novye paleontologicheskie dannye po dokembrijskim otlozhenijam Juzhnogo Kazahstana (Central'nyj Kazahstan) // Izv. AN SSSR. Ser. geol. 1989. N 1. P. 68–79.

- [15] Geologicheskij slovar'. M.: Nedra, 1978. Vol. 1. 486 p.; Vol. 2. 456 p.
- [16] Sergeev V.N Okremnenne mikrofossilii dokembrija i kembrija Uroka i Srodnej Azii. M.: Nauka. ChTr. GINRAN; VyI. 474. 1992. 139 p.
- [17] Metallogenija Kazahstana. Rudnye formacii. Mestorozhdenija zheleza i marganca. Alma-Ata: Nauka, 1982. 208 p.
- [18] Satpaev K.I. Mestorozhdenija rud zheleza i marganca v Dzhezkazgan-Ulytavskom rajone. M., 1935.
- [19] Satpaev K.I. Poleznye iskopaemye Dzhezkazgan-Ultauskogo rajona. Vol. 2. Alma-Ata: Nauka, 1968. 221 p.
- [20] Tanatar I.I. Genezis krivorozhskih zheleznyh rud i vmeshhajushhih ih kvarcitov // Izvestija Ekate-rinoslavskogo gornogo instituta za 1923 god. Ekaterinoslav: Tipo-litografija, 1923. P. 76-78.
- [21] Bejseev O.B. O geologicheskikh osnovah poiskov sul'fidnyh medno-nikelevykh rud v Severnom Uly-tau // Geologija, razvedka i metody izuchenija mestorozhdenij poleznyh iskopaemyh. Alma-Ata: KazIMS, 1969. P. 55-57.
- [22] Gorbunov G.I. Geologija i genezis sul'fidnyh medno-nikelevykh mestorozhdenij Pechengi. M.: Nedra, 1968. 352 p.
- [23] Zajcev Ju.A. Gercinskaja tektonicheskaja struktura zapadnoj chasti Sarysu-Tenizskogo vodorazdela i Ulytau. M.: Izd-vo MGU, 1961.
- [24] Zajcev Ju.A., Filatov L.I. Novye dannye o stroenii dokembrija Ulutau // Voprosy geologii Cen-tral'nogo Kazahstana. Vol. 10. M.: Izd-vo MGU, 1971. P. 21-91.
- [25] Roshchin Ju.V., Bulanina A.F. Geologicheskie problemy, sviazannye s dannymi po metamorfizmu do-kembrija Juzhnogo Ulutau (Central'nyj Kazahstan) // Blju. MOIP. Otd. geol. 1980. Vol. 55. Vyp. 2. P. 68-80.
- [26] Chetverikov S.D. Rukovodstvo k petrohimicheskim pereschetam. M.: Gosgeoltehizdat, 1956. 246 p.
- [27] Bobrov A.B., Lysak A.M., Sveshnikov K.I., Si-voronov A.A., Paran'ko I.S., Maljuk B.I. Formacionnyj analiz nizhnedokembrijskih kompleksov Ukrainskogo shhita pri provedenii geolo-gos'emochnyh rabot (teoretiko-prakticheskie aspekty). Kiev: izd. Ukrainskogo geologo-razvedochnogo in-ta, 2006. 164 p.
- [28] Medno-nikelevye mestorozhdenija Pechengi / Otv. redaktor N. P. Laverov. M.: GEOS, 1999. 236 p.
- [29] Stepanec V.G. Petrologija i geologicheskaja pozicija ofiolitov Severo-Vostoka C. Kazahstana: Dis. ... kand. geol.-min. nauk. IGN AN RK. Alma-Ata, 1992. 325 p.
- [30] Stepanec V.G. Geologija i geodinamika ofiolitov Central'nogo Kazahstana. Karaganda: KarGTU, 2015. 362 p.
- [31] Kulikova V.V., Kulikov V.S., Efremova S.F. i dr. Petrohimicheskie serii magmaticheskikh porod (analiz sostojaniya i problemy sistematizacii, pred-pochtitel'nye moduli himicheskikh jelementov, novye napravlenija). Petrozavodsk, 2001. 114 p.
- [32] Irvine T.N., Baragar W.R.A. A guide to the chemical classification of the common volcanic rocks // Canadian Journal of Earth Sciences. 1971. 8. P. 523-548.
- [33] Jensen L.S. A new cation plot for classifying subalkalic volcanic rocks. Ontario Dept. Mines Misc. 1976. 66 p.
- [34] Pearce T.H., Gorman B.E., Birkett T.C. The relationship between major element chemistry and tectonic environment of basic and intermediate volcanic rocks. Earth and Planetary Science Letters 36. 1977. P. 121-132.
- [35] Verma S.P. Statistical Evaluation of Bivariate, Ternary and Discriminant Function Tec-tonomagmatic Discrimination Diagrams // Turkish Journal of Earth Sciences (Turkish J. Earth Sci.). 2010. Vol. 19. P. 185-238.
- [36] Litovchenko N.I. K probleme proishozhdenija zhelezistyh kvarcitov // Otechestvennaja geologija. 2001. N 6. P. 70-76.
- [37] Letnikova E.F., Dmitrieva N.V., Tret'jakov A.A., Kanygina N.A., Vishnevskaja I.A., Zhimulev F.I. Osnovnye jetapy tektono-magmaticheskoy aktivnosti Ultauskogo kontinental'nogo bloka (Central'nyj Kazahstan): svidetel'stva v pozdnedokembrijskoj osadochnoj letopisi (izotopnye dannye) // Materialy mezhunarodnoj nauchno-prakticheskoy konferencii «geologija, mineralogenija i perspektivy razvitiya mineral'no-syr'vevyh resursov Respubliki Kazahstan», posvjash. 75-letiju instituta geologicheskikh nauk im. K. I. Satpaeva, 26-27 nojabrja 2015. P. 135-138.
- [38] Bajbatsha A.B., Djusembaeva K.Sh., Mamanov E.Zh. Mineralogija rud medno-nikelevogo rudoprojav-lenija «Kartorgaj» // Izvestija NAN RK. Serija geologii i tehnickeskikh nauk. 2015. N 5. P. 90-95.
- [39] Marakushev A.A., Panejah N.A., Marakushev S.A. Sul'fidnoe rudoobrazovanie i ego uglevodородная specialization. M.: GEOS, 2014. 184 p.
- [40] Betehtin A.G. Mineralogija. M.: GIGL, 1950. 956 p.
- [41] Magmaticheskie gornye porody. Ul'traosnovnye porody / Otv. red. E. E. Laz'ko, E. V. Sharkov. M., 1988. 508 p.
- [42] Makarychev G.I., Ges' M.D., Pazilova V.I. Dokembrijskie ofiolity Ulutau v svete stadijnogo razvitiya zemnoj kory // Geotektonika. 1983. N 4. P. 60-74.
- [43] Lute B.G. Verhnjaja mantija Zemli i formirovanie kory kontinentov // Vestnik AN SSSR. 1973. N 10. P. 24-36.
- [44] Krasnobaev A.A., Kozlov V.I., Puchkov V.N., Busharina S.V., Bereznaja N.G., Nehorosheva A.G. Cirkonologija zhelezistyh kvarcitov Taratašskogo kompleksa na juzhnom Urale // Doklady Akademii nauk. 2011. Vol. 437, N 6. P. 803-807.
- [45] Kovalev S.G. Novye dannye po geohimii diabaz-pikritovogo magmatizma zapadnogo sklona Juzhnogo Urala i uslovija ego formirovaniya // Litosfera. 2011. N 2. P. 68-83.
- [46] Kogarko L.N. Otnoshenie Ni/Co-indikator mantij-nogo proishozhdenija magmy // Geohimija. 1973. N 10. P. 1441-1446.
- [47] Luk'janova L.I., Volynin A.F. Sravnitel'naja harakteristika pikritovyh kompleksov Urala v svjazi s voprosom ih genezisa. Zap. Vsesojuz. mineral. o-va. 1979. Vyp. 5. P. 570-577.
- [48] Li Z.X., Bogdanova S.V., Collins A.S., Davidson A., De Waele B., Ernst R., Evans D., Fitzsimons I., Fuck R.A., Gladkochub D.P., Jacobs J., Karlstrom K.E., Lu S., Natapov L., Pease V., Pisarevsky S.A., Thrane K., Vernikovsky V. How not to build a supercontinent: A reply to J.D.A. Piper. Precambrian Research. 2009. N 174(1-2). P. 208-214.
- [49] Nsanov R.A. Ittrij – redkozemel'noe orudenie v korah vyvetrivanija Majatasskogo rudnogo polja (Severnyj, Ulytau): Avtoreferat. Almaty, 1993. 18 p.
- [50] Shumilova T.G. Nahodki almazov i grafitpodobnogo veshhestva v karbonatitah, o. Fuzrteventura, Ispanija // Vestnik, oktjabr', 2005 g. N 10. P. 17-18.
- [51] Starostin V.I., Ignatov P.I. Geologija poleznyh iskopaemyh: uchebnik dlja vuzov. M.: Akademicheskij proekt, 2004. 512 p.

В. Г. Степанец¹, В. Л. Левин², Н. А. Савельева³, М. Хакимжанов⁴, Д. К. Мақат³

¹RCMIR_CoM, Germany,

²К. И. Сәтбаев атындағы геологиялық ғылымдар институты, Алматы, Қазақстан

³ҚарМТУ, Қазақстан,

⁴SRK Consulting (Kazakhstan) Ltd.

(ОРТАЛЫҚ ҚАЗАҚСТАН) ҰЛЫТАУ АУДАНЫНЫң КЕНБАЙЫТУ ЖӘНЕ ПИКРИТТІ МАГМАТИЗМІНІҢ ДАМУЫ

Аннотация. Ұлытау жотасындағы жыныстар ультранегізді және негізді металлогенияда петрология сұрактарымен қарастырылған. Екі гипабиссалды кешен Батыс-Ұлытау белдемінде оқшауланған периодиттердің гранатты балқыту өнімдері Орталық Қазақстан кешенді офиолитті субдукция үстінде төменгі палеозой ерекшелендіреді, шпинель периодиттерінің балқынан туындаған онтістігінде пикрит-диабаз-белеутінді феррогабброкешендери, солтустігінде караторгай, диабаз-пикритті кешені. Баркевикит және титан-авгиті бар сілтілік түрі көбірек табылған жынысты белеутінді кешені, коныр мүйіз алдамшысымен, авгит негізгі дифференциатты қалыпты түрі мен ультранегізді кешенді караторгай жыныстарымен салыстырылған қышқыл габроидтар мен сондай-ақ эссеңситеттер диабаздардың пайды болу тешенингтері сонғы кезде кездеседі. Пикриттер мен диабаз-пикриттер караторгай кешеніндегі кеністікте және генетикалық мыс-никель кендері платиноидтармен байланыстырылған. Белеутінді кешенінде ағыс кезеңінің кіріскең жерінде жоғарғы темір сілтілік габбро-диабаз болуы мүмкін, гидротермалды процестермен байланысты Қарсақпай кенде аймағы темір кварциттерінің қалыптасуы көзделген. Радоний тамаша құрлығы ағысының қалыптасқан кезеңінде коллизионды процесспен геодинамикалық байланыста және протерозойлы рифтогенге дейн Батыс-Ұлытаудың жыныстық жасы аймактық шартпен қабылданған. Шығыс-Ұлытау құрамында оқшауланған тәуелсіз интрузивті неопротерозойлық ұлытау периодит – пироксенит – габбро-плагиогранит кешендери, балқытудың әртүрлі мантиялық қайнар көзінің нәтижесінде қалыптасқан, Батыс-Ұлытау белдемі гипабиссалды кешенімен ерекшеленеді. Платина групласының элементтерінің бөлінуі, сол ереже бойынша косвитеттердің катысуы Ұлытау кешеніне тән ерекшеліктерімен құрамында катысады.

Түйін сөздер: Ұлытау, Қазақстан, пикриттер, диабаздар, темір кварциті, мыс-никелді кендер, палладий, платина, неопротерозой.